

УДК 591.485+591.8

МОРФОЛОГИЯ

А. С. ИОНТОВ, Э. Э. ГРАНСТРЕМ

КОРКОВЫЕ СЛУХОВЫЕ ВОЛОКНА В СОСТАВЕ ЗРИТЕЛЬНОГО
ТРАКТА

(Представлено академиком В. Н. Черниговским 15 X 1969)

Уже давно было установлено, что после энуклеации глаз у человека и животных в зрительном тракте и нервах среди массы дегенерированных содержатся неизмененные волокна, природа которых оставалась неясной. Даже в случаях атрофии зрительных нервов, явившейся следствием многолетней слепоты, часть волокон в составе зрительного нерва оставалась сохранной⁽¹⁻⁵⁾. Это дало основание полагать, что в их составе, кроме специфических зрительных, содержатся волокна, направляющиеся к образованиям, не имеющим отношения к зрительной системе. Специально предпринятыми исследованиями было показано наличие волокон, отходящих от перекреста зрительного нерва к дienceфальной области^(6, 7) и продемонстрировано клиническое значение образованных этими волокнами так называемых фото-вегетативных связей⁽⁸⁾. В результате других наблюдений были выявлены анатомические связи ретино-дienceфальных путей с клетками супраоптического ядра^(9, 10). Ряду авторов удалось доказать, что эти волокна берут начало от ганглиозных клеток сетчатки⁽¹¹⁻¹⁴⁾. В последние годы на большом филогенетическом материале были изучены оптико-вегетативные связи межуточного мозга⁽¹⁵⁾. Специальному исследованию подверглись также ретино-тегментальные проекции у амфибий и рептилий⁽¹⁶⁾. Однако не только упомянутые выше волокна содержатся в составе зрительного тракта и нерва. В дальнейшем экспериментально-морфологическим исследованием продемонстрировано наличие перерожденных волокон в их составе, происходящих от клеток коры 1-й и 2-й соматосенсорных зон⁽¹⁷⁾. Таким образом, был обнаружен новый источник волокон, вступающих в состав зрительного тракта, не имеющих прямого отношения к зрительной функции. Это побудило поставить вопрос о том, не проходят ли в составе зрительного тракта волокна от других участков коры. В настоящем экспериментально-морфологическом исследовании мы стремились выяснить, содержит ли зрительный тракт волокна, являющиеся аксонами клеток слуховой коры, и определить их распространение.

Материал и методика. Работа выполнена на взрослых кошках. У животных в стерильных условиях под гексеналовым наркозом раздельно удалили зоны слуховой коры по схеме Вулси: A₁, A₂ и E_P (рис. 2). При отборе материала использовали лишь мозг тех животных, у которых во время операции подлежащее белое вещество осталось сохранным или было повреждено в незначительной степени. Спустя 4—9 суток послеэкстирпации кошек забивали и извлеченный мозг фиксировали в 10% нейтральном формалине. Для изучения были взяты зрительные тракты на стороне операции на протяжении от перекреста зрительных нервов до наружного коленчатого тела включительно. Материал резали на замораживающем микротоме серийно в продольном направлении (толщина 25—30 μ). Срезы импрегнировали по методикам Бильшовского — Грос и Наута — Гигакс. Фотографирование производили на МБИ-6.

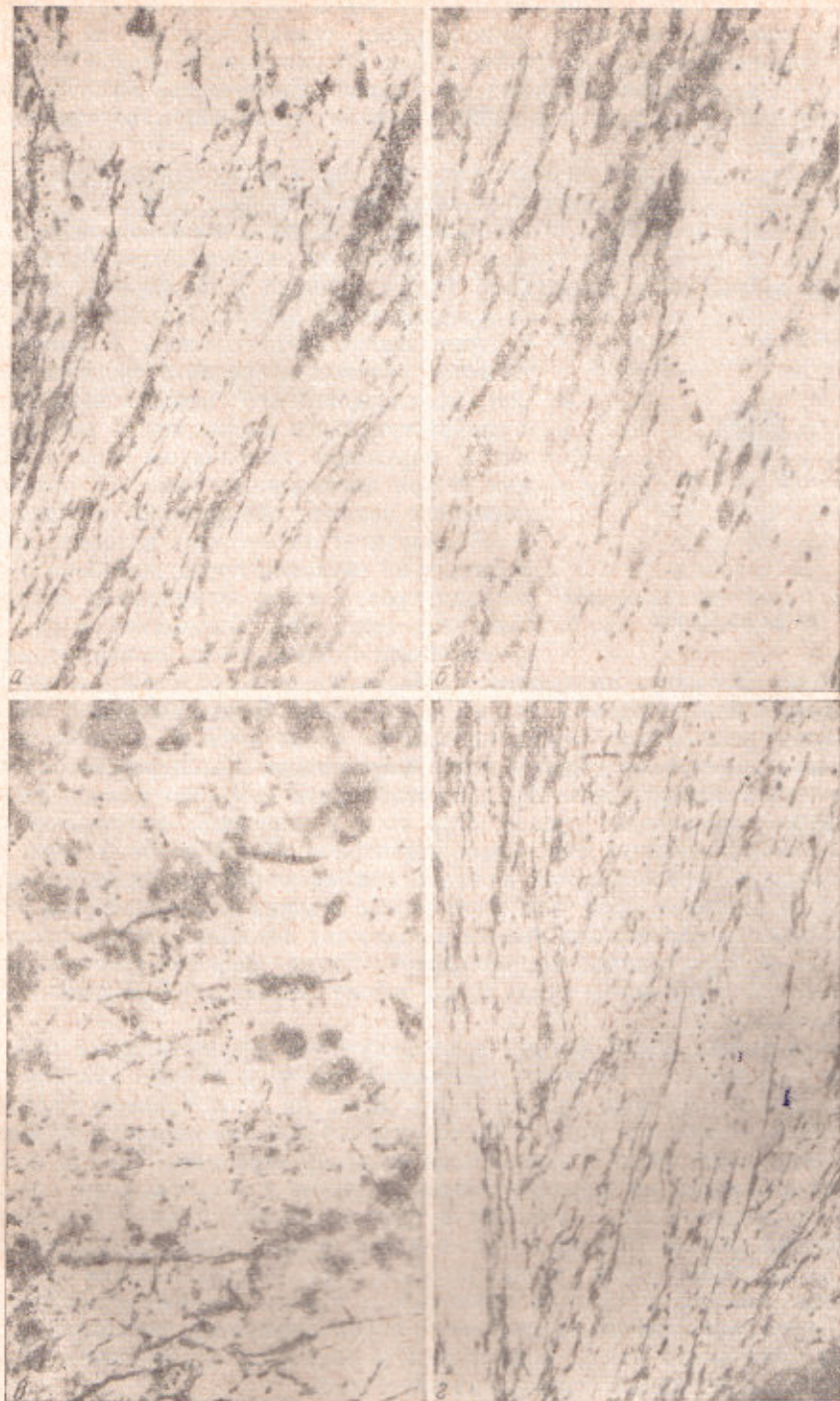


Рис. 1. Дегенерировавшие волокна в зрительном тракте послеэкстирпации слуховых зон коры Ер (а) и А_{II} (б), в наружном коленчатом теле (в) и в пучке волокон (г), отходящем от зрительного тракта к подушке таламуса после удаления зоны А_{II}. Импрегнация по Наута — Гигакс. Ок. 12,5, об. 40×

Результаты. Приэкстирпации зоны A_1 , которая продуцирует несколько меньшее количество нисходящих связей в сравнении с задней эктосильвиевой извилиной (зона E_p) и инсулярной областью слуховой коры (¹⁸), в зрительном тракте не удалось обнаружить дегенерированных волокон. В наружном коленчатом теле также таких волокон выявлено не было.

Напротив, довольно значительное их число было обнаружено в зрительном тракте приэкстирпации зоны E_p (рис. 1а). Дегенерировавшие волокна, имеющие общее с остальными волокнами направление, прослеживались по всей длине тракта. Наибольшее их количество было установлено в средней и дистальной (примыкающей к перекресту зрительных нервов) его частях. Помимо четко дегенерировавших наблюдалось большое количество толстых и среднего калибра волокон, преимущественно миэлинизированных, с множественными варикозными набуханиями. В наружном коленчатом теле, так же как и приэкстирпации зоны A_1 , дегенерировавших волокон обнаружить не удалось.

Наибольшее количество волокон, происходящих из слуховой коры, выявлено в зрительном тракте послеэкстирпации корковой зоны A_{II} (рис. 1б). Большинство из них имело общее с неизмененными волокнами направление.

На рисунке 2 схематично изображены слуховые зоны коры по Вулси.

Рис. 2. Схема слуховых зон коры по Вулси

На рисунке 2 схематично изображены слуховые зоны коры по Вулси. Схема показывает продольный разрез коры головного мозга. В центре изображена извилина Экториануса (извилина Гиппокампа). Красной линией отмечена зона E_p . Округлые пятна, обозначенные A_1 , A_2 , A_3 и A_{II} , представляют собой зоны слуховой коры. A_1 и A_2 расположены в передней части извилины Экториануса, A_3 и A_{II} — в задней части.

На рисунке 2 схематично изображены слуховые зоны коры по Вулси. Схема показывает продольный разрез коры головного мозга. В центре изображена извилина Экториануса (извилина Гиппокампа). Красной линией отмечена зона E_p . Округлые пятна, обозначенные A_1 , A_2 , A_3 и A_{II} , представляют собой зоны слуховой коры. A_1 и A_2 расположены в передней части извилины Экториануса, A_3 и A_{II} — в задней части.

На рисунке 2 схематично изображены слуховые зоны коры по Вулси. Схема показывает продольный разрез коры головного мозга. В центре изображена извилина Экториануса (извилина Гиппокампа). Красной линией отмечена зона E_p . Округлые пятна, обозначенные A_1 , A_2 , A_3 и A_{II} , представляют собой зоны слуховой коры. A_1 и A_2 расположены в передней части извилины Экториануса, A_3 и A_{II} — в задней части.

На рисунке 2 схематично изображены слуховые зоны коры по Вулси. Схема показывает продольный разрез коры головного мозга. В центре изображена извилина Экториануса (извилина Гиппокампа). Красной линией отмечена зона E_p . Округлые пятна, обозначенные A_1 , A_2 , A_3 и A_{II} , представляют собой зоны слуховой коры. A_1 и A_2 расположены в передней части извилины Экториануса, A_3 и A_{II} — в задней части.

На рисунке 2 схематично изображены слуховые зоны коры по Вулси. Схема показывает продольный разрез коры головного мозга. В центре изображена извилина Экториануса (извилина Гиппокампа). Красной линией отмечена зона E_p . Округлые пятна, обозначенные A_1 , A_2 , A_3 и A_{II} , представляют собой зоны слуховой коры. A_1 и A_2 расположены в передней части извилины Экториануса, A_3 и A_{II} — в задней части.

Институт Физиологии им. И. П. Павлова
Академии наук СССР
Ленинград

Поступило
13 X 1969

ЦИТИРОВАННАЯ ЛИТЕРАТУРА

- ¹ Gudden, Цит. по Л. В. Блуменау, Мозг человека, М.—Л., 1925. ² P. Marie, A. Léri, Rev. Neurol., 10, 493 (1905). ³ Moelii, Arch. Psychol., 39, № 2, 437 (1905). ⁴ R. R. Pfister, J. R. Wolter, Neurology, 13, № 1, 38 (1963). ⁵ J. R. Wolter, Arch. Ophtalm., 64, 697 (1960). ⁶ E. Frey, Schweiz. Arch. Neurol. Psychiatr., 39, 2 (1937); 40, 1, 1 (1937). ⁷ E. Frey, Proc. on Nederl. Akad. Wetersch., 41, 5 (1938). ⁸ Г. И. Маркелов, Журн. невропатол. и психиатр., 14, 3, 5 (1945). ⁹ А. С. Новохатский, Офтальм. журн., 2, 100 (1957). ¹⁰ А. С. Новохатский, Л. А. Гиршман, В сборнике Вопр. пейрофтальмологии, 7, Харьков, 1958, стр. 58. ¹¹ H. Spratz, Anat. Anz. Ergänzungsheft, 100, 46 (1954). ¹² S. Blumcke, Zs. Zellforsch., 48, 3, 261 (1958). ¹³ H. Knoche, Zs. mikr.-anat. Forsch., 63, 461 (1957). ¹⁴ A. Ok-sche, Intern. Congr. Anat. in New York, April, Ref. Anat. Rec., 136, 2, 253 (1960). ¹⁵ Б. И. Шапиро, Оптико-вегетативные связи междуочного мозга, М.—Л., 1965. ¹⁶ Л. М. Номоконова, Ретино-тегментальные проекции у амфибий и рептилий, Диссертация, Л., 1968. ¹⁷ В. Ю. Ермолаева, А. С. Ионтов, ДАН, 162, № 1, 219 (1965). ¹⁸ G. L. Rasmussen, In: Neurological Aspects of Auditory and Vestibular Disorders, Illinois, USA, 1964, p. 5.